

АЛЬТЕРНАТИВНЫЕ ИСТОЧНИКИ ЭНЕРГИИ

УДК 537.39: 537.5

О ВОЗМОЖНОСТИ ПОЛУЧЕНИЯ ЭНЕРГИИ ПРИ ЭЛЕКТРИЧЕСКИХ РАЗРЯДАХ*

*Г.Ф. Кузнецов, Д.Г. Клещев, В.В. Крымский, С.И. Лаврентьев, С.Ю. Гуревич
г. Челябинск, ЮУрГУ*

ON THE POSSIBILITY OF ENERGY GENERATION IN ELECTRICAL DISCHARGES

*G.F. Kuznetsov, D.G. Kleshchev, V.V. Krymsky, S.I. Lavrentiev, S.Y. Gurevich
Chelyabinsk, SUSU*

Описана экспериментальная установка и результаты исследования возможности получения тепловой и электрической энергии при электрических разрядах большой мощности в водно-солевых растворах.

Ключевые слова: разряд, раствор, импульс, энергия.

The experimental assembly and the research results of possibility of thermal and electric energy generation in electrical high-power discharges in the salt aqueous solutions are described.

Keywords: discharge, solution, pulse, energy.

В работе И.В. Курчатова [1] указаны два направления проведения термоядерных реакций: стационарные и импульсные. Теоретически было предположено, что при импульсных разрядах в дейтерии с токами более 300 кА может появиться нейтронное излучение термоядерного происхождения.

Экспериментально было исследовано действие электрического разряда на газы: водород, дейтерий, гелий, аргон, ксенон и их смеси. Во время разряда измерялись нейтронный поток и уровень рентгеновского излучения. Обнаружено, что при разряде в дейтерии возникают нейтронный импульс и синхронно с ним жесткое рентгеновское излучение с энергией 300...400 кэВ. В плазме разряда, по оценке автора, температура достигает 10^6 °C.

Из различных работ, которые описывают установки для получения энергии в электрическом разряде, следует отметить работы А.В. Вачаева и Н.И. Иванова [2, 3, 4, 5]. В работе [2] используется разряд постоянного тока, в [4] – переменного, в [5] – оба вида токов. Гидравлические и электрические схемы установки, работающей на переменном и постоянном токах приведены в [5]. В работе [4] приведены энергетические характеристики установки на переменном токе.

В работах [6, 7] описан способ генерирования и конструкция генератора нейтронных импульсов. Суть способа заключается в том, что на разрядную камеру с плазменным фокусом, которая заполнена дейтерием или смесью дейтерий-тритий подается ионизирующий токовый импульс 100–500 А длительностью 20–100 нс. Далее с задержкой 30–150 нс подается основной высоковольтный импульс (25 кВ, 500 кА), после чего возникает импульс нейтронного излучения с выходом более 10^{11} нейтронов в импульсе в зависимости от условий разряда и конструкции камеры. Это означает, что в камере происходит реакция ядерного синтеза с выделением нейтронов и энергии. Реальность существования и работоспособности этого устройства подтверждается предложением продажи нейтронных генераторов различных типов, производимых ВНИИА им. Духова [8].

По вышеизложенному и целому ряду других источников можно сделать однозначный вывод: существует экспериментально подтвержденная в различных научных организациях возможность получения дополнительной энергии в электрическом разряде.

Для проверки возможности создания нового источника электрической энергии на основе элек-

*В порядке обсуждения.

Альтернативные источники энергии

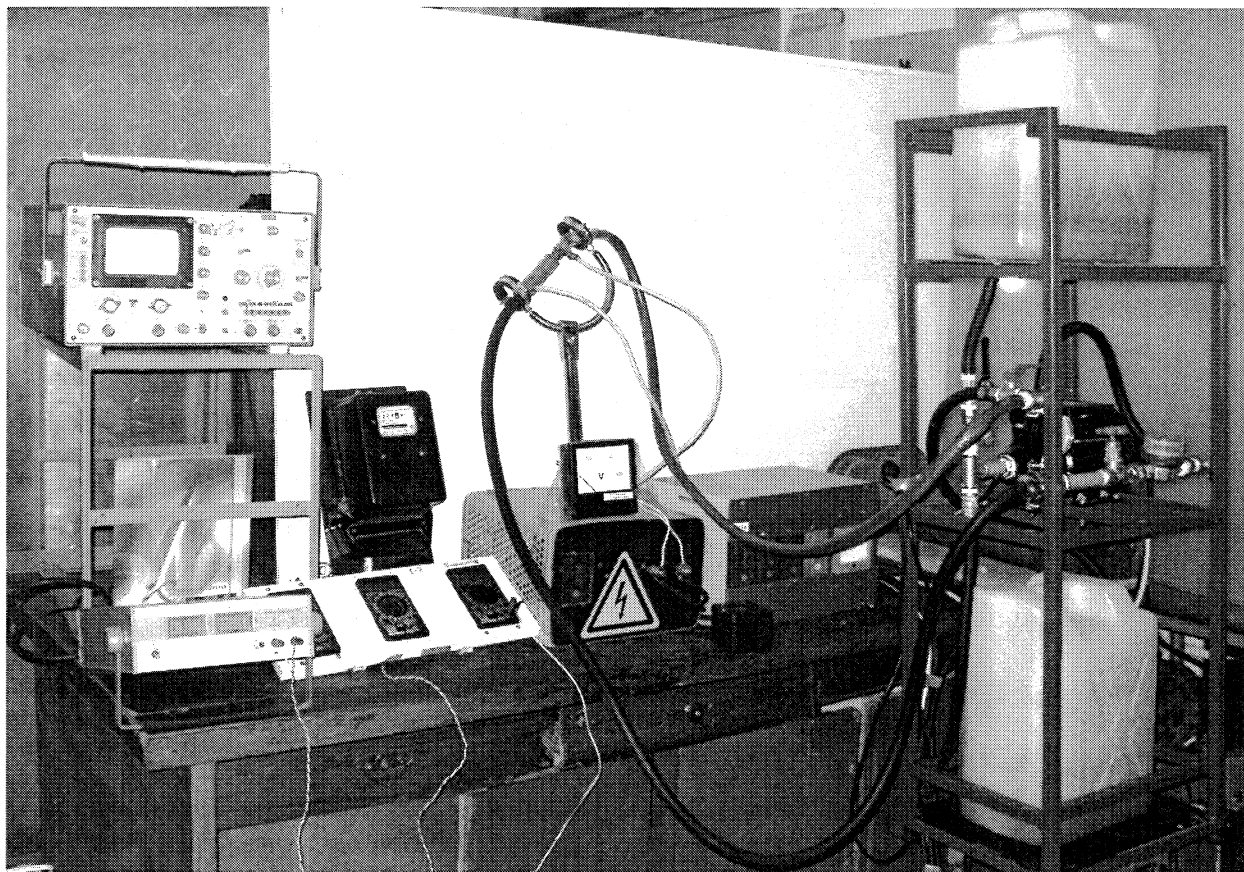


Рис. 1. Общий вид экспериментальной установки для исследования энергетических процессов

трического разряда в потоке водно-солевого раствора была разработана и смонтирована экспериментальная установка, основными структурными элементами которой являются: реактор для создания электрического разряда; гидросистема для питания реактора водно-солевым раствором; электротехническое оборудование; комплект средств измерений (рис. 1).

Конструкция реактора приведена на рис. 2. В корпус 1, изготовленный из оргстекла, ввинчены два трубчатых стабилизирующих электрода 2, 3. В средней части реактора размещена керамическая

вставка 6, проходное сечение которой имеет меньший диаметр, нежели сечение корпуса реактора. Этим обеспечивается увеличение скорости потока водно-солевого раствора. Именно в месте сужения сечения располагаются окончания инициирующих электродов 4, 5. Реактор может быть снабжен катушкой 7 для создания магнитного поля.

Гидросистема смонтирована на раме из металлического уголка и содержит следующие узлы: бак подачи раствора, кран подачи, центробежный насос, питаемый напряжением 220 В, давление на выходе 4 атм, максимальный расход раствора

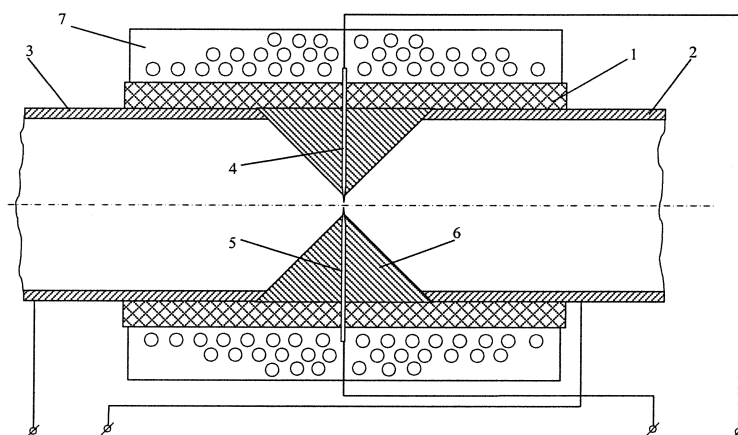


Рис. 2. Конструкция реактора

0,3 кг/с, счётчик подачи раствора механический, регулирующий вентиль, манометр, бак приемный, сливной кран, раму.

Из подающего бака раствор самотеком через кран поступает в насос. Насос прокачивает раствор через счётчик, регулирующий вентиль и реактор. Давление раствора на входе в реактор определяется по манометру, средний расход – по счётчику. Из реактора раствор поступает в приемный бак, либо в другие приемные ёмкости (если необходим химический анализ раствора, прошедшего через реактор). Упрощенная электрическая схема установки приведена на рис. 3.

Для определения комплексных характеристик экспериментальной установки использовалось следующее электротехническое оборудование: термопары ХА; блок мультиметров DT838; счетчик электрической энергии САЧУ-И672М; источник питания постоянного тока Б5-43; вольтметр М381; амперметр М42100.

Трёхфазное электрическое напряжение величиной 380 В из электрической сети подаётся на регулируемый тиристорный выпрямитель, который позволяет получить на его выходе постоянное напряжение от 270 до 530 В. Этим напряжением заряжается конденсатор С. Балластное сопротивление Rб ограничивает ток в электрической цепи величиной 50 А, что соответствует максимальному значению тока в случае короткого замыкания цепи внутри реактора Р. Конденсатор разряжается на электроды реактора с образованием электрических разрядов. Для исследований был изготовлен из оргстекла реактор, имеющий форму цилиндра (внутренний диаметр – 30 мм, длина – 100 мм). В основания цилиндра ввинчены проточные трубчатые электроды внутренним диаметром 8 мм. Обращённые друг к другу концы электродов проточены до диаметра 12 мм. В хвостовой части элек-

тродов имеются контактные шпильки для крепления проводов электропитания и штуцеры для подсоединения шлангов подачи раствора электролита.

В опытах использовали электроды, изготовленные из катодной меди марки М1к (ГОСТ 859–2001), а также из графита марки ISEM-1. Площадь электродов составляла ~60 мм², начальный зазор между ними – 1,0±0,1 мм. В качестве электролита использовали растворы хлорида натрия и гидрооксида натрия в дистиллированной воде. Напряжение U варьировали от 270 до 530 В, емкость конденсатора С – от 50 до 400 мкФ, концентрацию растворов – от 0,05 до 0,25 моль/дм³, скорость подачи раствора – от 0,1 до 0,9 дм³/мин. При разряде наблюдалась эрозия поверхностного слоя электродов, что приводило к увеличению зазора между электродами до 1,5 мм в опытах с медными и до 2,0 мм в опытах с графитовыми электродами.

Температура раствора после реактора с течением времени постепенно увеличивалась от T_0 , приближаясь к своему постоянному значению T , и далее не изменялась. Время достижения стационарного значения температуры при данной скорости подачи электролита составило 270 с. За изменение температуры ΔT при расчете теплоты Q , необходимой для нагрева электролита принята величина $\Delta T = T - T_0$.

Эксперименты показали (табл. 1), что при подаче на реактор напряжения $U \geq 300$ В в реакторе возникают электрические разряды в виде кратковременных ярких вспышек белого цвета, частота которых зависит от следующих основных параметров: а) величины подаваемого напряжения, б) величины емкости конденсатора С; в) концентрации электролита в растворе; г) скорости подачи в реактор раствора; д) величины зазора между электродами. При этом амперметром A2 фиксируется пере-

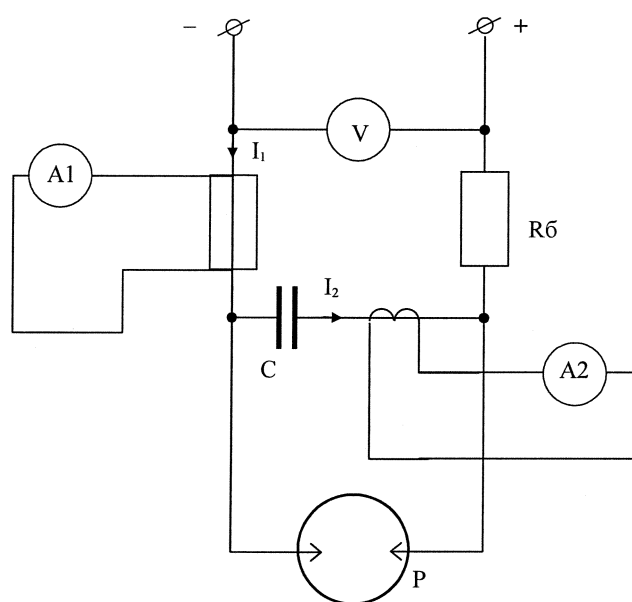


Рис. 3. Электрическая схема установки

Альтернативные источники энергии

Таблица 1

Параметры и показатели работы экспериментальной установки

Параметры	№ опыта					
	1	2	3	4	5	6
1. Напряжение U , В	350	530	350	350	530	350
2. Емкость конденсатора, мкФ	200	200	50	100	400	200
3. Концентрация электролита, моль/дм ³	0,10	0,10	0,10	0,10	0,20	0,05
4. Скорость подачи раствора, дм ³ /мин	0,2	0,2	0,2	0,2	0,2	0,2
5. Постоянный ток I_1 , А	7	12	1	5	4	3
6. Переменный ток I_2 , А	30–70	80–120	< 5	20–50	25–30	20–60

Таблица 2

Энергетический баланс

Параметры	Опыт 1 ($C_{NaCl} = 0,09$ моль/дм ³)	Опыт 2 ($C_{NaCl} = 0,17$ моль/дм ³)	Опыт 3 ($C_{NaCl} = 0,25$ моль/дм ³)
	1. W_3 , МДж	1,01	0,36
2. Объем раствора, дм ³	1,6	5,0	1,7
3. ΔT , °С	30–35	50	60
4. Q , МДж	0,235	1,05	0,43
5. W_K , Дж	3,2	10	3,4
6. A_r , Дж	800	2400	800
7. $W_{эи}$, Дж	2700	8000	2700
8. Коэффициент энергоотдачи Q/W_3 , отн./ед.	0,7	1,0	1,2

менный электрический ток I_2 через конденсатор C (в дальнейшем вторичная электрическая цепь), величина которого зависит от конкретных параметров работы установки и может изменяться по своей величине от 20 до 300 А (частота тока I_2 составляет 10–15 кГц). Отметим, что по своей величине ток I_2 значительно больше тока I_1 .

Проведенный анализ экспериментальных данных, показывает, что величина тока I_2 изменяется симбатно с величинами подаваемого напряжения U , емкости конденсатора C и концентрации электролита в водном растворе. Зависимость I_2 от скорости подачи электролита (V) через реактор не монотонна: при малых скоростях подачи величина I_2 изменяется симбатно с ростом V (диапазон значений 0,1 дм³/мин < V < 0,4 дм³/мин), при $V = 0,4$ –0,5 дм³/мин достигает максимального значения, а далее уменьшается при дальнейшем увеличении скорости подачи электролита через реактор.

Для составления комплексных энергетических характеристик процессов, реализующихся при электрическом разряде в растворах электролитов, были проведены оценочные исследования баланса электрической энергии, подводимой к экспериментальной установке, и идущей на нагрев электролита и другие физико-химические процессы. Результаты представлены в табл. 2.

В таблице использованы следующие обозначения: W_3 – поступившая на вход установки электрическая энергия; ΔT – изменение температуры электролита; Q – тепловая энергия, которая пошла на нагрев электролита; W_K – кинетическая энергия движения электролита; A_r – работа, идущая на пре-

одоление гидродинамического сопротивления гидравлической цепи; $W_{эи}$ – энергия электромагнитного излучения.

Обращает на себя внимание опыт 3, в результате которого коэффициент энергоотдачи превысил единицу. Таким образом, экспериментальные результаты подтверждают возможность получения энергии при электрическом разряде с повышенным коэффициентом энергоотдачи.

Литература

1. Курчатов, И.В. О возможности осуществления термоядерных реакций в электрическом разряде / И.В. Курчатов // Атомная энергия. – 1956. – Вып. 3. – С. 65–75.
2. Механизм и энергетика фазовых переходов: учебное пособие/ А.В. Вачаев, Н.И. Иванов, Г.А. Павлова, А.И. Иванов // Магнитогорск: МГМА, 1996. – 74 с.
3. Пат. № 2096846 РФ, МКИ G 21 G 1/00, H 05 H 1/24. Способ получения элементов и устройство для его осуществления / А.В. Вачаев, Н.И. Иванов, А.Н. Иванов, Г.А. Павлова. – Заявл. 31.05.94 // Изобретения. – 1997. – № 32. – С. 369.
4. Основные положения дейтонной горнometаллургической технологии / Н.И. Иванов, А.В. Вачаев, Г.А. Павлова, Л.А. Скворцов // Известия вузов. Черная металлургия. – 1998. – № 4. – С. 54–59.
5. Взаимопревращения химических элементов / В.Ф. Балакирев, В.В. Крымский, Б.В. Болотов и

др.; под ред. В.Ф. Балакирева. – Екатеринбург:
УРО РАН, 2003. – 94 с.

6. Экспериментальный образец импульсного
генератора нейтронов наносекундной длительно-
сти / А.А. Бойко, А.К. Дулатов, Б.Д. Лемешко,
П.П. Сидоров // Научная сессия МИФИ: сб. науч.
трудов. – 2005. – Т. 8. – С. 81–82.

7. Пат № 2362277 РФ, МКИ C1, Н 05 Н 1/00.
Способ генерации нейтронных импульсов /
Е.П. Боголюбов, А.В. Голиков, А.К. Дулатов и др. –
Заявл. 14.02.2008; опубл. 20.07.2009.

8. <http://www.sciteclibrary.ru/rus/catalog/pages/1711/html>

Поступила в редакцию 13.01. 2010 г.

Кузнецов Геннадий Федорович – доктор технических наук, профессор кафедры «Общая и экспериментальная физика», Южно-Уральский государственный университет, г. Челябинск.

Область научных интересов – энергогенерирующие устройства. Тел.: 8-(351) 267-93-07.

Kuznetsov Gennady Fyodorovich is Dr.Sc. (Engineering), Professor of the General and Experimental Physics Department, South Ural State University, Chelyabinsk. Research interests: energy-generating devices. Tel.: 8-(351) 267-93-07.

Клещев Дмитрий Георгиевич – доктор химических наук, профессор кафедры «Общая и экспериментальная физика», Южно-Уральский государственный университет. Область научных интересов – химия и физика твердого тела. Тел.: 8-(351) 267-93-07, e-mail: dgk@susu.ac.ru.

Kleshchev Dmitry Georgievich is Dr.Sc. (Chemistry), Professor of the General and Experimental Physics Department, South Ural State University, Chelyabinsk. Research interests: chemistry of solids, solid state physics. Tel.: 8-(351) 267-93-07, e-mail: dgk@susu.ac.ru.

Крымский Валерий Вадимович – доктор физико-математических наук, профессор кафедры электротехники, Южно-Уральский государственный университет. Область научных интересов – электродинамика конденсированных сред. Тел.: 8-(315) 267-90-14, e-mail: kvv@susu.ac.ru.

Krymsky Valery Vadimovich is Dr.Sc. (Physics and Mathematics), Professor of the Electrical Engineering Department, South Ural State University, Chelyabinsk. Research interests: electrodynamics of the condensed mediums. Tel.: 8-(315) 267-90-14, e-mail: kvv@susu.ac.ru.

Лаврентьев Сергей Иванович – мастер электроцеха филиала ОАО «Фортум» филиал Челябинская ТЭЦ-2.

Lavrentiev Sergey Ivanovich is a foreman of the electric shop of a branch of JSC “Fortum”, branch of Chelyabinsk heat electric generation plant # 2. Tel.: 8-912-312-0476, e-mail: talavr@bk.ru.

Гуревич Сергей Юрьевич – доктор технических наук, профессор, заведующий кафедрой «Общая и экспериментальная физика», Южно-Уральский государственный университет. Область научных интересов – физика магнитных явлений. Тел.: 8-(351) 267-90-38, e-mail: sergur@susu.ac.ru.

Gurevich Sergey Yurievich is Dr.Sc. (Engineering), Professor, Head of the General and Experimental Physics Department, South Ural State University, Chelyabinsk. Research interests: physics of magnetic phenomena. Tel.: 8-(351) 267-90-38, e-mail: sergur@susu.ac.ru.